

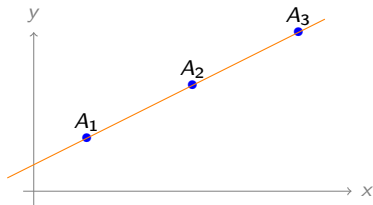
Méthode des éléments finis

Ibrahim ALAME

ESTP

05/02/2024

Rappel : 3 Points alignés

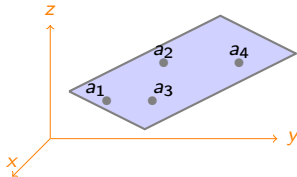


$$\lambda x + \mu y + \nu = 0$$

$$\begin{cases} \lambda x_1 + \mu y_1 + \nu = 0 \\ \lambda x_2 + \mu y_2 + \nu = 0 \\ \lambda x_3 + \mu y_3 + \nu = 0 \end{cases} \iff \begin{pmatrix} x_1 & y_1 & 1 \\ x_2 & y_2 & 1 \\ x_3 & y_3 & 1 \end{pmatrix} \begin{pmatrix} \lambda \\ \mu \\ \nu \end{pmatrix} = \begin{pmatrix} 0 \\ 0 \\ 0 \end{pmatrix}$$

$$\text{Trois points alignés} \iff \begin{vmatrix} x_1 & y_1 & 1 \\ x_2 & y_2 & 1 \\ x_3 & y_3 & 1 \end{vmatrix} = 0$$

Rappel : 4 Points coplanaires



$$ax + by + cz + d = 0$$

$$\begin{cases} ax_1 + by_1 + bz_1 + d = 0 \\ ax_2 + by_2 + bz_2 + d = 0 \\ ax_3 + by_3 + bz_3 + d = 0 \\ ax_4 + by_4 + bz_4 + d = 0 \end{cases} \iff \begin{pmatrix} x_1 & y_1 & z_1 & 1 \\ x_2 & y_2 & z_2 & 1 \\ x_3 & y_3 & z_3 & 1 \\ x_4 & y_4 & z_4 & 1 \end{pmatrix} \begin{pmatrix} a \\ b \\ c \\ d \end{pmatrix} = \begin{pmatrix} 0 \\ 0 \\ 0 \\ 0 \end{pmatrix}$$

$$\text{Quatre points coplanaires} \iff \begin{vmatrix} x_1 & y_1 & z_1 & 1 \\ x_2 & y_2 & z_2 & 1 \\ x_3 & y_3 & z_3 & 1 \\ x_4 & y_4 & z_4 & 1 \end{vmatrix} = 0$$

Rappel : Coordonnées barycentriques



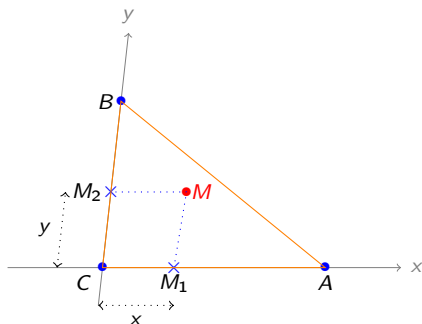
$$\overrightarrow{BM} = x\overrightarrow{BA}$$

$$M - B = x(A - B) \implies M = xA + (1 - x)B$$

(λ, μ) Coordonnées barycentriques de M dans le système $\{A, B\}$ ssi

$$M = \lambda A + \mu B \quad \text{où } \lambda + \mu = 1$$

Rappel : Coordonnées barycentriques



$$\overrightarrow{CM} = x\overrightarrow{CA} + y\overrightarrow{CB}$$

$$M - C = x(A - C) + y(B - C) \implies M = xA + yB + (1 - x - y)C$$

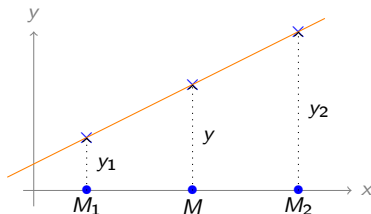
(λ, μ, ν) Coordonnées barycentriques de M dans le système $\{A, B, C\}$ ssi

$$M = \lambda A + \mu B + \nu C \quad \text{où } \lambda + \mu + \nu = 1$$

Rappel : Interpolation linéaire

Théorème

L'application $f : E \rightarrow E'$ est affine si et seulement si, f conserve les barycentres.

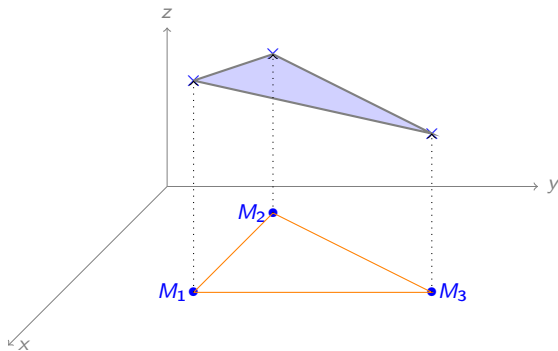


$$M = \lambda M_1 + \mu M_2$$

$$f(M) = \lambda f(M_1) + \mu f(M_2)$$

$$y = \lambda y_1 + \mu y_2$$

Rappel : Interpolation linéaire



$$M = \lambda M_1 + \mu M_2 + \nu M_3$$

$$f(M) = \lambda f(M_1) + \mu f(M_2) + \nu f(M_3)$$

$$z = \lambda z_1 + \mu z_2 + \nu z_3$$

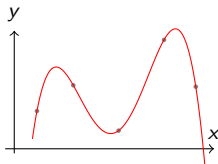
Rappel : Interpolation de Lagrange

Théorème

Soit $f : [a, b] \rightarrow \mathbb{R}$ une fonction continue et $x_0 < x_1 < \dots < x_n$, $n + 1$ points distincts de $[a, b]$. Il existe un unique $P \in \mathbb{R}_n[X]$ tel que $P(x_i) = f(x_i)$ pour $i = 0, 1, \dots, n$. De plus, P est donné par :

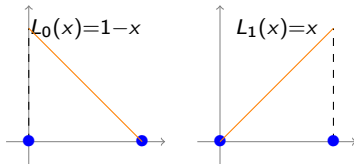
$$P(x) = \sum_{i=0}^n f(x_i) L_i(x)$$

où les polynômes L_i sont définis par : $L_i(x) = \prod_{j=0, j \neq i}^n \frac{x - x_j}{x_i - x_j}$



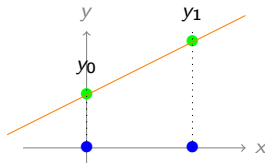
- $n = 1$ deux points de discrétisation $x_0 = 0$ et $x_1 = 1$. On a alors :

$$P(x) = \sum_{i=0}^1 f(x_i)L_i(x) = y_0 \cdot L_0(x) + y_1 \cdot L_1(x)$$



- Exemple : Équation de la droite passant par les deux points $(0, 1)$ et $(1, 3)$:

$$y = 1 \cdot (1 - x) + 3 \cdot x \implies y = 2x + 1$$



Éléments finis de Lagrange

On se donne :

- ① une partie compacte K de \mathbb{R}^n , connexe et d'intérieur non vide ;
 - ② un ensemble fini $\Sigma = \{a_j\}_{j=1}^N$ de N points distincts de K ;
 - ③ un espace vectoriel \mathbb{P} de dimension finie et composé de fonctions définies sur K à valeurs réelles.
- On dit que l'ensemble Σ est \mathbb{P} -unisolvant si et seulement si, étant donné N scalaires réels quelconques α_j , $1 \leq j \leq N$, il existe une fonction p de l'espace \mathbb{P} et une seule telle que

$$p(a_j) = \alpha_j, \quad 1 \leq j \leq N \quad (1)$$

Lorsque l'ensemble Σ est \mathbb{P} -unisolvant, le triplet (K, \mathbb{P}, Σ) est appelé **élément fini de Lagrange**.

- Une condition nécessaire évidente pour que l'ensemble Σ soit \mathbb{P} -unisolvant est que $\dim(\mathbb{P}) = \text{card}(\Sigma) = N$

Éléments finis de Lagrange

- il existe pour tout entier i , $1 \leq i \leq N$, une fonction $\varphi_i \in \mathbb{P}$ et une seule telle que

$$\varphi_i(a_j) = \delta_{ij}, \quad 1 \leq j \leq N \quad (2)$$

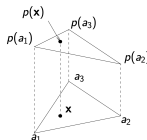
Les N fonctions $(\varphi_i)_{1 \leq i \leq N}$ forment une base de \mathbb{P} .

- pour toute fonction v définie sur K à valeurs réelles, il existe une fonction $p \in \mathbb{P}$ et une seule qui interpole v sur Σ :

$$p(a_j) = v(a_j), \quad 1 \leq j \leq N \quad (3)$$

- L'opérateur de P -interpolation de Lagrange sur Σ noté Π est définie par

$$\Pi v = \sum_{i=1}^N v(a_i) \varphi_i, \quad (4)$$



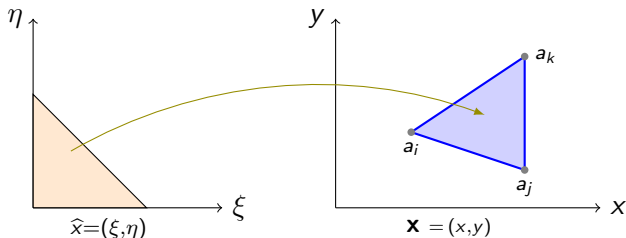
Éléments finis de Lagrange

- On suppose l'application F injective. Alors si $(\hat{K}, \hat{\mathbb{P}}, \hat{\Sigma})$ est un élément fini de Lagrange, le triplet (K, \mathbb{P}, Σ) , où $K = F(\hat{K})$ et où on a posé

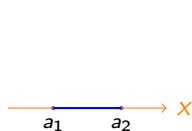
$$\mathbb{P} = \{p : K \rightarrow \mathbb{R}; p \circ F \in \hat{\mathbb{P}}\}, \quad \text{et} \quad \Sigma = F(\hat{\Sigma}), \quad (5)$$

est un élément fini de Lagrange.

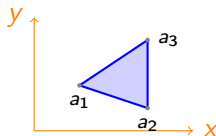
- Deux éléments finis de Lagrange $(\hat{K}, \hat{P}, \hat{\Sigma})$ et (K, P, Σ) sont dits affine-équivalents s'il existe une bijection F de \hat{K} sur K vérifiant (5);



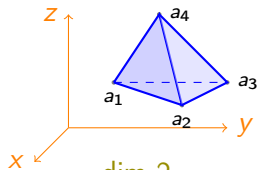
Éléments finis simpliciaux



dim 1



dim 2



dim 2

On considère $n + 1$ points $a_j = (a_{ij})_{i=1}^n \in \mathbb{R}^n$, $1 \leq j \leq n + 1$, non situés dans un même hyperplan, c'est-à-dire tels que la matrice d'ordre $n + 1$

$$A = \begin{pmatrix} a_{11} & a_{12} & \cdots & a_{1,n+1} \\ a_{21} & a_{22} & \cdots & a_{2,n+1} \\ \vdots & \vdots & & \vdots \\ a_{n1} & a_{n2} & \cdots & a_{n,n+1} \\ 1 & 1 & \cdots & 1 \end{pmatrix} \quad (6)$$

soit inversible. On appelle n -simplexe K de sommets a_j , $1 \leq j \leq n + 1$, l'enveloppe convexe des points a_j ;

Coordonnées barycentriques

Tout point x de \mathbb{R}^n , de coordonnées cartésiennes x_i , $1 \leq i \leq n$, est caractérisé par la donnée des $n + 1$ scalaires $\lambda_j = \lambda_j(x)$, $1 \leq j \leq n + 1$, définis comme solution du système linéaire

$$\left\{ \begin{array}{l} x = \sum_{j=1}^{n+1} \lambda_j(x) a_j \\ \sum_{j=1}^{n+1} \lambda_j = 1 \end{array} \right. \iff \left\{ \begin{array}{l} \sum_{j=1}^{n+1} a_{ij} \lambda_j = x_i, \quad 1 \leq i \leq n \\ \sum_{j=1}^{n+1} \lambda_j = 1 \end{array} \right. \quad (7)$$

Ces scalaires $\lambda_j(x)$ sont appelés les coordonnées barycentriques du point x par rapport aux $n + 1$ points a_j , $1 \leq j \leq n + 1$. D'après (7), chacune de ces fonctions coordonnées barycentriques est une fonction affine de \mathbb{R}^n dans \mathbb{R}

Polynôme d'interpolation en dimension n

Le n -simplexe K de sommets a_j , $1 \leq j \leq n+1$, est caractérisé par

$$K = \{x \in \mathbb{R}^n; 0 \leq \lambda_j(x) \leq 1, 1 \leq j \leq n+1\} \quad (8)$$

Pour tout entier $k \geq 0$, on désigne par $\mathbb{P}_k^{(n)}$ l'espace des (fonctions) polynômes de \mathbb{R}^n dans \mathbb{R} de degré inférieur ou égal à k :

$$\forall x \in \mathbb{R}^n, \quad p(x) = \sum_{\substack{i_1 \geq 0, \dots, i_n \geq 0 \\ i_1 + \dots + i_n \leq k}} \alpha_{i_1, \dots, i_n} x_1^{i_1} \cdots x_n^{i_n}, \quad (9)$$

où les α_{i_1, \dots, i_n} sont des scalaires réels.

L'espace des polynômes à n variables homogènes de degré k est de dimension $\binom{n+k-1}{k}$, nombre de combinaisons avec répétitions de longueur k formées à partir des éléments d'un ensemble de cardinal n . Par conséquent, la dimension de l'espace $\mathbb{P}_k^{(n)}$ est

$$\dim(\mathbb{P}_k^{(n)}) = \sum_{l=0}^k \binom{n+l-1}{l} = \binom{n+k}{k} = \frac{(n+k)!}{n!k!} \quad (10)$$

Polynôme d'interpolation en dimension 1

- $n = 1$

$$\forall x \in \mathbb{R}, \quad p(x) = \sum_{i=0}^k \alpha_i x^i,$$

$$\mathbb{P}_k^{(1)} = \text{vect}\{1, x, x^2, \dots, x^k\}, \quad \dim \mathbb{P}_k^{(1)} = k + 1$$

En particulier

$$k = 0, \quad \mathbb{P}_0^{(1)} = \text{vect}\{1\} = \mathbb{R}, \quad \dim \mathbb{P}_0^{(1)} = 1$$

$$k = 1, \quad \mathbb{P}_1^{(1)} = \{ax + b; a \in \mathbb{R} \text{ et } b \in \mathbb{R}\}, \quad \dim \mathbb{P}_1^{(1)} = 2$$

$$k = 2, \quad \mathbb{P}_2^{(1)} = \{ax^2 + bx + c; a, b, c \in \mathbb{R}\}, \quad \dim \mathbb{P}_2^{(1)} = 3$$

Polynôme d'interpolation en dimension 2

- $n = 2$

$$\forall (x, y) \in \mathbb{R}, \quad p(x, y) = \sum_{0 \leq i+j \leq k} \alpha_{ij} x^i y^j,$$

$$\mathbb{P}_k^{(2)} = \text{vect}\{x^i y^j; 0 \leq i+j \leq k\}, \quad \dim \mathbb{P}_k^{(2)} = \frac{(k+1)(k+2)}{2}$$

En particulier

$$\begin{aligned} k=0, \quad \mathbb{P}_0^{(2)} &= \text{vect}\{\mathbf{1}\} = \mathbb{R}, & \dim \mathbb{P}_0^{(2)} &= 1 \\ k=1, \quad \mathbb{P}_1^{(2)} &= \text{vect}\{\mathbf{1}, \mathbf{x}, \mathbf{y}\}, & \dim \mathbb{P}_1^{(2)} &= 3 \\ k=2, \quad \mathbb{P}_2^{(2)} &= \text{vect}\{\mathbf{1}, \mathbf{x}, \mathbf{x}^2, \mathbf{y}, \mathbf{y}^2, \mathbf{xy}\}, & \dim \mathbb{P}_2^{(2)} &= 6 \end{aligned}$$

Polynôme d'interpolation en dimension 3

- $n = 3$

$$\forall (x, y, z) \in \mathbb{R}, \quad p(x, y, z) = \sum_{0 \leq p+q+r \leq k} \alpha_{pqr} x^p y^q z^r,$$

$$\mathbb{P}_k^{(3)} = \text{vect}\{x^p y^q z^r; 0 \leq p + q + r \leq k\}, \dim = \frac{(k+1)(k+2)(k+3)}{6}$$

En particulier

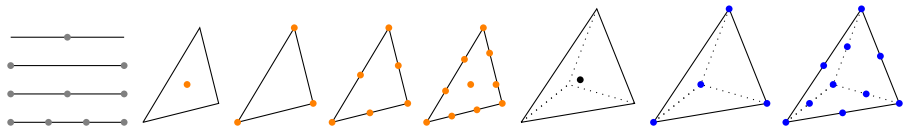
$$\begin{aligned} k = 0, \quad \mathbb{P}_0^{(3)} &= \text{vect}\{\mathbf{1}\} = \mathbb{R}, & \dim \mathbb{P}_0^{(3)} &= 1 \\ k = 1, \quad \mathbb{P}_1^{(3)} &= \text{vect}\{\mathbf{1}, x, y, z\}, & \dim \mathbb{P}_1^{(3)} &= 4 \\ k = 2, \quad \mathbb{P}_2^{(3)} &= \text{vect}\{\mathbf{1}, x, x^2, y, y^2, z, z^2, xy, xz, yz\}, & \dim \mathbb{P}_2^{(3)} &= 10 \end{aligned}$$

Treillis principal d'ordre k

On définit enfin, pour tout entier k le treillis d'ordre k du n -simplexe K comme étant l'ensemble de points de \mathbb{R}^n défini par

$$\Sigma_k^{(n)} = \left\{ x \in \mathbb{R}^n; \lambda_j(x) \in \left\{ 0, \frac{1}{k}, \dots, \frac{k-1}{k}, 1 \right\}, 1 \leq j \leq n+1 \right\} \quad (11)$$

$$\Sigma_0^{(n)} = \left\{ x \in \mathbb{R}^n; \lambda_j(x) = \frac{1}{n+1}, 1 \leq j \leq n+1 \right\} \quad (12)$$



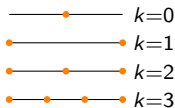
En tenant compte de $\lambda_{n+1} = 1 - \sum_{j=1}^n \lambda_j$, on vérifie que le cardinal de l'ensemble $\Sigma_k^{(n)}$ est le nombre de combinaisons avec répétitions de longueur k formées à partir des éléments de $\{0, \dots, n\}$ d'où

$$\text{card}(\Sigma_k^{(n)}) = \binom{(n+1) + k - 1}{k} = \binom{n+k}{k} = \frac{(n+k)!}{n!k!} \quad (13)$$

Treillis principal d'ordre k en dimension 1

$$\Sigma_k^{(1)} = \left\{ x \in \mathbb{R}; \lambda_j(x) \in \left\{ 0, \frac{1}{k}, \dots, \frac{k-1}{k}, 1 \right\}, 1 \leq j \leq 2 \right\} \quad (14)$$

$$\Sigma_0^{(1)} = \left\{ x \in \mathbb{R}; \lambda_1(x) = \lambda_2(x) = \frac{1}{2} \right\} = \left\{ x = \frac{a_1 + a_2}{2} = a_0 \right\} \quad (15)$$



En particulier

$$k = 0, \quad \Sigma_0^{(1)} = \{a_0\}$$

$$k = 1, \quad \Sigma_1^{(1)} = \{x = \lambda_1 a_1 + \lambda_2 a_2; \lambda_j \in \{0, 1\}\} = \{a_1, a_2\}$$

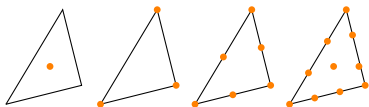
$$k = 2, \quad \Sigma_2^{(1)} = \{x = \lambda_1 a_1 + \lambda_2 a_2; \lambda_j \in \{0, \frac{1}{2}, 1\}\} = \{a_1, a_2, a_0\}$$

$$k = 3, \quad \Sigma_3^{(1)} = \{x = \lambda_1 a_1 + \lambda_2 a_2; \lambda_j \in \{0, \frac{1}{3}, \frac{2}{3}, 1\}\} = \{a_1, a_2, a_{112}, a_{122}\}$$

Treillis principal d'ordre k en dimension 2

$$\Sigma_k^{(2)} = \left\{ x \in \mathbb{R}^2; \lambda_j(x) \in \left\{0, \frac{1}{k}, \dots, \frac{k-1}{k}, 1\right\}, 1 \leq j \leq 3 \right\} \quad (16)$$

$$\Sigma_0^{(2)} = \left\{ x \in \mathbb{R}^2; \lambda_1 = \lambda_2 = \lambda_3 = \frac{1}{3} \right\} = \left\{ x = \frac{a_1 + a_2 + a_3}{3} = a_0 \right\} \quad (17)$$



$$\Sigma_1^{(2)} = \{x = \lambda_1 a_1 + \lambda_2 a_2 + \lambda_3 a_3; \lambda_j \in \{0, 1\}\} = \{a_1, a_2, a_3\} \quad (18)$$

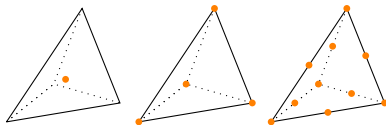
$$\Sigma_2^{(2)} = \left\{ x = \lambda_1 a_1 + \lambda_2 a_2 + \lambda_3 a_3; \lambda_j \in \left\{0, \frac{1}{2}, 1\right\} \right\} = \{a_1, a_2, a_3, a_{12}, a_{13}, a_{23}\}$$

$$\begin{aligned} \Sigma_3^{(2)} &= \left\{ x = \lambda_1 a_1 + \lambda_2 a_2 + \lambda_3 a_3; \lambda_j \in \left\{0, \frac{1}{3}, \frac{2}{3}, 1\right\} \right\} \\ &= \{a_1, a_2, a_3, a_{112}, a_{122}, a_{113}, a_{133}, a_{223}, a_{233}, a_0\} \end{aligned}$$

Treillis principal d'ordre k en dimension 3

$$\Sigma_k^{(3)} = \left\{ x \in \mathbb{R}^3; \lambda_j(x) \in \left\{ 0, \frac{1}{k}, \dots, \frac{k-1}{k}, 1 \right\}, 1 \leq j \leq 4 \right\}$$

$$\Sigma_0^{(3)} = \left\{ x \in \mathbb{R}^3; \lambda_1 = \lambda_2 = \lambda_3 = \lambda_4 = \frac{1}{4} \right\} = \left\{ \frac{a_1 + a_2 + a_3 + a_4}{4} = a_0 \right\}$$

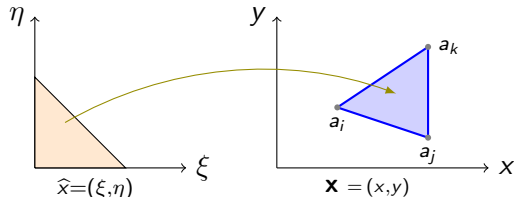


$$\Sigma_1^{(3)} = \{x = \lambda_1 a_1 + \lambda_2 a_2 + \lambda_3 a_3 + \lambda_4 a_4; \lambda_j \in \{0, 1\}\} = \{a_1, a_2, a_3, a_4\}$$

$$\begin{aligned} \Sigma_2^{(3)} &= \left\{ x = \lambda_1 a_1 + \lambda_2 a_2 + \lambda_3 a_3 + \lambda_4 a_4; \lambda_j \in \left\{ 0, \frac{1}{2}, 1 \right\} \right\} \\ &= \{a_1, a_2, a_3, a_{12}, a_{13}, a_{14}, a_{23}, a_{24}, a_{34}, a_0\} \end{aligned}$$

Élément fini n -simplexe

- Pour tout entier $k \geq 0$, l'ensemble $\Sigma_k^{(n)}$, est $P_k^{(n)}$ -unisolvant.
- Pour tout n -simplexe $K^{(n)}$ de \mathbb{R}^n et pour tout entier $k \geq 0$, l'élément fini $(K^{(n)}, P_k^{(n)}, \Sigma_k^{(n)})$, où $\Sigma_k^{(n)}$ est le treillis principal d'ordre k de $K^{(n)}$, est appelé n -simplexe de type (k) .
- Pour tout entier $k \geq 0$, deux éléments finis n -simplexes de type (k) sont affine-équivalents.



Il suffira donc d'étudier les propriétés d'un n -simplexe de type (k) particulier $(\widehat{K}_k^{(n)}, \widehat{P}_k^{(n)}, \widehat{\Sigma}_k^{(n)})$ appelé n -simplexe de référence.

Élément fini n -simplexe de référence

On choisit pour \hat{K} le n -simplexe unité de sommets $\hat{a}_1 = (1, 0, \dots, 0)$, $\hat{a}_2 = (0, 1, 0, \dots, 0)$, ... $\hat{a}_n = (0, \dots, 0, 1)$, $\hat{a}_{n+1} = (0, 0, \dots, 0)$. Dans ce cas, les coordonnées barycentriques sont

$$\hat{\lambda}_i(\hat{x}) = \hat{x}_i, \quad 1 \leq i \leq n; \quad \hat{\lambda}_{n+1} = 1 - \sum_{i=1}^n \hat{\lambda}_i, \quad (19)$$

Considérons un peu plus en détail les éléments finis (K, P, Σ) n -simplexes de type (k) les plus couramment utilisés en pratique.

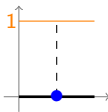
On pose

$$\begin{aligned} a_0 &= \frac{1}{2}(a_1 + a_2), && \text{milieu du segment} \\ a_0 &= \frac{1}{n+1} \sum_{i=1}^{n+1} a_i, && \text{centre de gravité} \\ a_{ijj} &= \frac{1}{3}(2a_i + a_j), && \text{au tiers du segment} \\ a_{ijj} &= \frac{1}{3}(a_i + 2a_j), && \text{au deux-tiers du segment} \end{aligned}$$

Élément fini segment

- $n = 1, k = 0$ Le segment de type (0) correspond à

$$(K, P, \Sigma) = ([0, 1], \mathbb{P}_0^{(1)} = \mathbb{R}, \Sigma_0^{(1)} = \{a_0\})$$



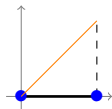
La fonction de base est $\varphi(\xi) = 1$

- $n = 1, k = 1$ Le segment de type (1) correspond à

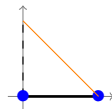
$$(K, P, \Sigma) = ([0, 1], \mathbb{P}_1^{(1)} = \mathbb{R}_1[X], \Sigma_1^{(1)} = \{a_1 = 1, a_2 = 0\})$$

Les fonctions de base sont les fonctions coordonnées barycentriques :

$$\varphi_1 = \lambda_1 = \xi, \quad \varphi_2 = \lambda_2 = 1 - \xi$$



$$\varphi_1(\xi) = \xi$$



$$\varphi_2(\xi) = 1 - \xi$$

Élément fini segment

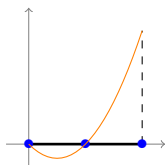
- $n = 1, k = 2$, le segment de type (2) correspond à

$$\mathbb{P} = \mathbb{P}_2, \quad \Sigma = \Sigma_2 = \{a_1, a_{12}, a_2\}$$

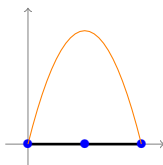
Les fonctions de base sont les fonctions

$$\begin{cases} \varphi_i = \lambda_i(2\lambda_i - 1), & i = 1, 2 \\ \varphi_{12} = 4\lambda_1\lambda_2 \end{cases}$$

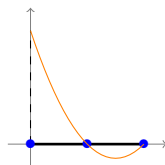
$$\varphi_1(\xi) = \xi(2\xi - 1), \quad \varphi_2(\xi) = (1 - \xi)(2(1 - \xi) - 1) = (1 - \xi)(1 - 2\xi)$$



$$\varphi_1 = \xi(2\xi - 1)$$



$$\varphi_{12} = 4\xi(1 - \xi)$$



$$\varphi_2 = (1 - \xi)(1 - 2\xi)$$

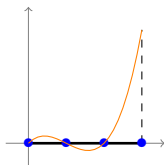
Élément fini segment

- $n = 1, k = 3$, le segment de type (3) correspond à

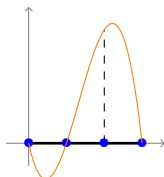
$$\mathbb{P} = \mathbb{P}_3, \quad \Sigma = \Sigma_3 = \{a_1, a_{112}, a_{122}, a_2\}$$

Les fonctions de base sont les fonctions

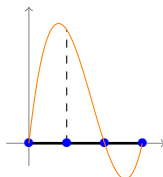
$$\begin{cases} \varphi_1 = \frac{1}{2}x(3x-1)(3x-2), \\ \varphi_2 = \frac{1}{2}(1-x)(1-3x)(2-3x), \\ \varphi_{112} = \frac{9}{2}x(1-x)(3x-1) \\ \varphi_{122} = \frac{9}{2}x(1-x)(2-3x) \end{cases}$$



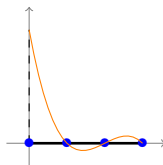
φ_1



φ_{112}



φ_{122}



φ_2

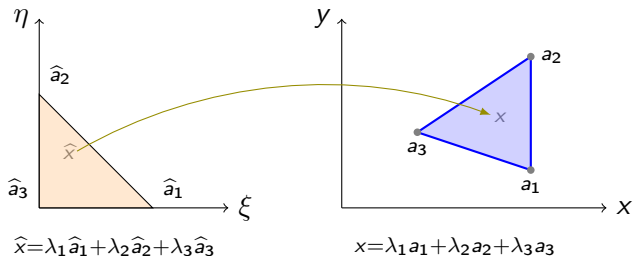
Éléments finis triangles ($n = 2$)

- Lorsque $n = 2$, K est le triangle de sommets a_1 , a_2 et a_3 . On pose

$$a_0 = \frac{1}{3}(a_1 + a_2 + a_3) \quad \text{centre de gravité de } K$$

$$a_{ij} = \frac{1}{2}(a_i + a_j), \quad \text{milieu du côté } [a_i, a_j]$$

$$a_{ijj} = \frac{1}{3}(2a_i + a_j), \quad a_{ijj} \text{ et } a_{jji} \text{ aux tiers et deux-tiers du côté } [a_i a_j].$$



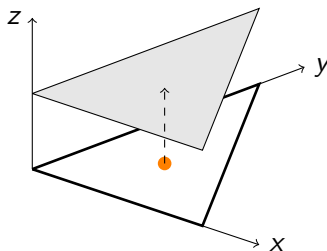
Éléments finis triangles de type (0)

- Pour $k = 0$, le triangle de type (0) correspond à

$$\mathbb{P} = \mathbb{P}_0^{(2)} = \mathbb{R}, \quad \Sigma = \Sigma_0^{(2)} = \{a_0\}$$

La fonction de base est la fonction constante définie par

$$\forall x \in K, \quad \varphi_0(x) = 1$$



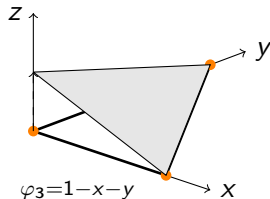
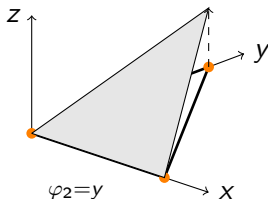
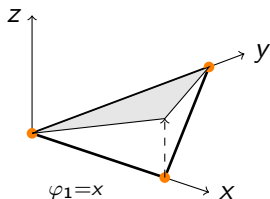
Éléments finis triangles de type (1)

- Pour $k = 1$, le triangle de type (1) est obtenu pour

$$\mathbb{P} = \mathbb{P}_1^{(2)} = \{ax + by + c; (a, b, c) \in \mathbb{R}^3\}, \quad \Sigma = \Sigma_1^{(2)} = \{a_i\}_{1 \leq i \leq 3}$$

Les fonctions de base sont les fonctions coordonnées barycentriques par rapport à (a_1, a_2, a_3) , i.e.

$$\varphi_i = \lambda_i, \quad 1 \leq i \leq 3$$



Éléments finis triangles de type (2)

- Pour $k = 2$, le triangle de type (2) correspond à

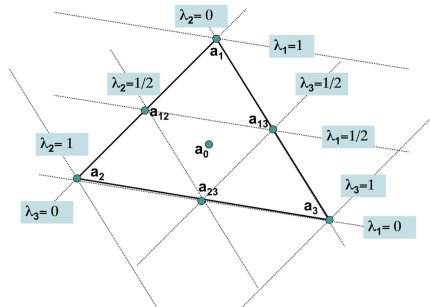
$$\mathbb{P} = \mathbb{P}_2^2, \quad \Sigma = \Sigma_2^2 = \{a_1, a_2, a_3\} \cup \{a_{23}, a_{13}, a_{12}\}$$

Les fonctions de base sont les fonctions

$$\varphi_i = \lambda_i(2\lambda_i - 1), \quad 1 \leq i \leq 3,$$

et

$$\varphi_{ij} = 4\lambda_i\lambda_j, \quad 1 \leq i < j \leq 3,$$



Éléments finis triangles de type (2)

$$\varphi_1(\xi, \eta) = \xi(2\xi - 1)$$

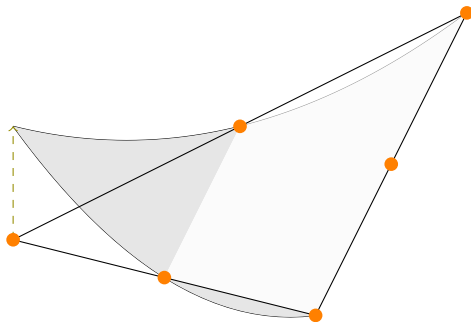
$$\varphi_2(\xi, \eta) = \eta(2\eta - 1)$$

$$\varphi_3(\xi, \eta) = (1 - \xi - \eta)(1 - 2\xi - 2\eta)$$

$$\varphi_{12}(\xi, \eta) = 4\xi\eta$$

$$\varphi_{13}(\xi, \eta) = 4\xi(1 - \xi - \eta)$$

$$\varphi_{23}(\xi, \eta) = 4\eta(1 - \xi - \eta)$$



Éléments finis triangles de type (3)

- Pour $k = 3$, le triangle de type (3) est obtenu pour

$$\mathbb{P} = \mathbb{P}_3^2, \quad \Sigma = \Sigma_3^2 = \{a_1, a_2, a_3\} \cup \{a_{112}, a_{113}, a_{221}, a_{223}, a_{331}, a_{332}\} \cup \{a_0\}$$

Les fonctions de base sont les fonctions

$$\varphi_i = \frac{1}{2} \lambda_i (3\lambda_i - 1)(3\lambda_i - 2), \quad 1 \leq i \leq 3,$$

$$\varphi_{ij} = \frac{9}{2} \lambda_i \lambda_j (3\lambda_i - 1) \quad 1 \leq i, j \leq 3, i \neq j$$

et

$$\varphi_0 = 27\lambda_1\lambda_2\lambda_3$$



Éléments finis tétraèdre ($n = 3$)

K est le tétraèdre de sommets a_1, a_2, a_3 et a_4 . On pose

- Pour $k = 0$, le tétraèdre de type (0) correspond à

$$\mathbb{P} = \mathbb{P}_0^3 = \mathbb{R} = \text{vect}(\varphi = 1), \quad \Sigma = \Sigma_0^3 = \{a_0\}$$

- Pour $k = 1$, le tétraèdre de type (1) est obtenu pour

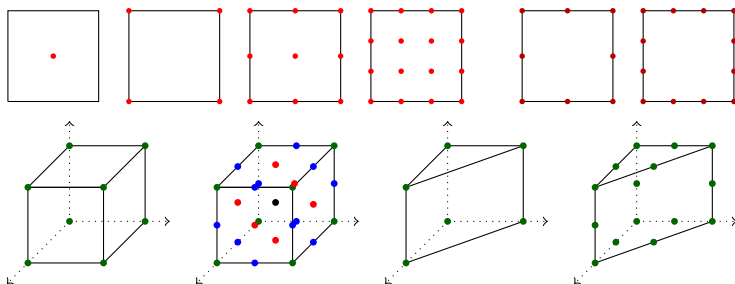
$$\mathbb{P} = \mathbb{P}_1^3 = \mathbb{R}_1[X, Y] = \text{vect}(\varphi_i = \lambda_i, 1 \leq i \leq 4), \quad \Sigma = \Sigma_1^3 = \{a_i\}_{1 \leq i \leq 4}$$

- Pour $k = 2$, le tétraèdre de type (2) est obtenu pour

$$\begin{aligned} \mathbb{P} = \mathbb{P}_2^{(3)} &= \text{vect}(1, \xi, \eta, \nu, \xi^2, \eta^2, \nu^2, \xi\eta, \xi\nu, \eta\nu) \\ &= \text{vect}(\varphi_i = \lambda_i(2\lambda_i - 1), \varphi_{ij} = 4\lambda_i\lambda_j) \\ \Sigma = \Sigma_2 &= \{a_i\}_{1 \leq i \leq 4} \cup \{a_{ij}\}_{1 \leq i < j \leq 4} \end{aligned}$$

Les expressions des fonctions de base relatives à ces exemples de tétraèdre de type (k) sont formellement identiques à celles donnant les fonctions de base de triangle de type (k) .

Éléments finis parallélotopes



L'enveloppe convexe K de 2^n points a_j , est un n -parallélotope si et seulement si il existe une application affine inversible F telle que

$$a_j = F(\hat{a}_j), \quad 1 \leq j \leq 2^n, \quad (20)$$

où les points \hat{a}_j , $1 \leq j \leq 2^n$, sont les sommets de \hat{K} , hypercube unité $[0, 1]^n$ de \mathbb{R}^n ;

- pour $n = 2$, K est un parallélogramme.
- pour $n = 3$, K est un parallélépipède.

Éléments finis parallélotopes

Soit $\mathbb{Q}_k^{(n)}$ l'espace des (fonctions) polynômes de degré inférieur ou égal à k par rapport à chaque variable :

$$\forall x \in \mathbb{R}^n, \quad p(x) = \sum_{0 \leq i_1 \leq k, \dots, 0 \leq i_n \leq k} \alpha_{i_1, \dots, i_n} x_1^{\alpha_1} \dots x_n^{\alpha_n} \quad (21)$$

$$\dim(\mathbb{Q}_k) = (k+1)^n$$

- $\mathbb{Q}_0^{(n)} = \mathbb{R}$.
- $\mathbb{Q}_k^{(1)} = \mathbb{P}_k^{(1)}$.
- $\mathbb{Q}_k^{(2)} = \text{vect}\{x^i y^j; 0 \leq i, j \leq k\}$, $\dim \mathbb{Q}_k^{(2)} = (k+1)^2$. En particulier :
 - $\mathbb{Q}_1^{(2)} = \{a + bx + cy + dxy; a, b, c, d \in \mathbb{R}\}$, $\dim \mathbb{Q}_1^{(2)} = 4$.
 - $\mathbb{Q}_2^{(2)} = \text{vect}\{1, x, x^2, y, y^2, xy, xy^2, x^2y, x^2y^2\}$, $\dim \mathbb{Q}_2^{(2)} = 9$.
- $\mathbb{Q}_k^{(3)} = \text{vect}\{x^p y^q z^r; 0 \leq p, q, r \leq k\}$, $\dim \mathbb{Q}_k^{(3)} = (k+1)^3$. Et donc :
 - $\mathbb{Q}_1^{(3)} = \text{vect}\{1, x, y, z, xy, xz, yz, xyz\}$, $\dim \mathbb{Q}_1^{(3)} = 8$.
 - $\mathbb{Q}_2^{(3)} = \text{vect}\{1, x, x^2, y, y^2, z, z^2, xy, xz, yz, xyz, x^2y, x^2z, x^2yz, xy^2, y^2z, xy^2z, xz^2, yz^2, xyz^2, x^2y^2, x^2z^2, y^2z^2, x^2y^2z, x^2yz^2, xy^2z^2, x^2y^2z^2\}$, $\dim \mathbb{Q}_2^{(3)} = 27$.

Éléments finis parallélotopes

On prend alors pour domaine \widehat{K} l'hypercube unité $[0, 1]^n$ de \mathbb{R}^n et on définit pour tout entier $k \geq 1$ l'ensemble de points de \widehat{K}

$$\widehat{\Xi}_k^{(n)} = \left\{ \hat{x} = (\hat{x}_i)_{1 \leq i \leq n}; \hat{x}_i \in \left\{ 0, \frac{1}{k}, \dots, \frac{k-1}{k}, 1 \right\}, 1 \leq i \leq n \right\} \quad (23)$$

Pour $k = 0$, on posera

$$\widehat{\Xi}_0^{(n)} = \left\{ \left(\frac{1}{n+1}, \dots, \frac{1}{n+1} \right) \in \mathbb{R}^n \right\} \quad (24)$$

On a ainsi pour tout entier $k \geq 1$

$$\text{card}(\widehat{\Xi}_k) = (k+1)^n$$

Éléments finis parallélotopes en dimension 1

\hat{K} est le segment $[0, 1]$

$$\hat{\Xi}_0^{(1)} = \left\{ \frac{1}{2} \right\}, \quad \text{pour } k \geq 1, \hat{\Xi}_k^{(1)} = \left\{ 0, \frac{1}{k}, \dots, \frac{k-1}{k}, 1 \right\}$$

$$\text{card}(\hat{\Xi}_k) = k + 1$$

En particulier

- $\hat{\Xi}_1^{(1)} = \{0, 1\}$, $\text{Card} \hat{\Xi}_1^{(1)} = 2$
- $\hat{\Xi}_2^{(1)} = \{0, \frac{1}{2}, 1\}$, $\text{Card} \hat{\Xi}_2^{(1)} = 3$
- $\hat{\Xi}_3^{(1)} = \{0, \frac{1}{3}, \frac{2}{3}, 1\}$, $\text{Card} \hat{\Xi}_3^{(1)} = 4$

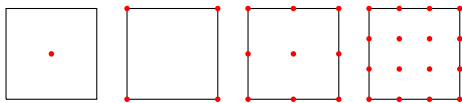
Éléments finis parallélotopes en dimension 2

\hat{K} est le carré $[0, 1]^2$. On pose $\hat{a}_1 = (0, 0)$, $\hat{a}_2 = (1, 0)$, $\hat{a}_3 = (1, 1)$, $\hat{a}_4 = (0, 1)$,

$$\hat{\Xi}_0^{(2)} = \left\{ \left(\frac{1}{2}, \frac{1}{2} \right) \right\}, \text{ pour } k \geq 1, \hat{\Xi}_k^{(2)} = \left\{ (\hat{x}_1, \hat{x}_2); \hat{x}_i \in \left\{ 0, \frac{1}{k}, \dots, \frac{k-1}{k}, 1 \right\} \right\}$$

$$\text{card}(\hat{\Xi}_k) = (k+1)^2$$

- $\hat{\Xi}_1^{(2)} = \{(\hat{x}_1, \hat{x}_2); \hat{x}_i \in \{0, 1\}\} = \{\hat{a}_1, \hat{a}_2, \hat{a}_3, \hat{a}_4\}$, $\text{Card} \hat{\Xi}_2^{(1)} = 4$
- $\hat{\Xi}_2^{(1)} = \{(\hat{x}_1, \hat{x}_2); \hat{x}_i \in \{0, \frac{1}{2}, 1\}\} = \{\hat{a}_0, \hat{a}_1, \hat{a}_2, \hat{a}_3, \hat{a}_4, \hat{a}_{12}, \hat{a}_{13}, \hat{a}_{14}, \hat{a}_{23}, \hat{a}_{24}, \hat{a}_{34}\}$, $\text{Card} \hat{\Xi}_2^{(1)} = 9$
- $\hat{\Xi}_3^{(2)} = \{(\hat{x}_1, \hat{x}_2); \hat{x}_i \in \{0, \frac{1}{3}, \frac{2}{3}, 1\}\}$, $\text{Card} \hat{\Xi}_3^{(2)} = 16$



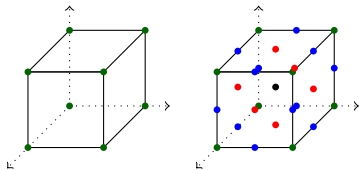
Éléments finis parallélotopes en dimension 3

\hat{K} est le cube $[0, 1]^3$. On pose $\hat{a}_1 = (0, 0, 0)$, $\hat{a}_2 = (1, 0, 0)$, $\hat{a}_3 = (1, 1, 0)$, $\hat{a}_4 = (0, 1, 0)$, $\hat{a}_5 = (0, 0, 1)$, $\hat{a}_6 = (1, 0, 1)$, $\hat{a}_7 = (1, 1, 1)$, $\hat{a}_8 = (0, 1, 1)$,

$$\hat{\Xi}_0^{(3)} = \left\{ \left(\frac{1}{2}, \frac{1}{2}, \frac{1}{2} \right) \right\}, \quad \hat{\Xi}_k^{(3)} = \left\{ (\hat{x}_1, \hat{x}_2, \hat{x}_3); \hat{x}_i \in \left\{ 0, \frac{1}{k}, \dots, \frac{k-1}{k}, 1 \right\} \right\}$$

$$\text{card}(\hat{\Xi}_k) = (k+1)^3$$

- $\hat{\Xi}_1^{(3)} = \{(\hat{x}_1, \hat{x}_2, \hat{x}_3); \hat{x}_i \in \{0, 1\}\} = \{\hat{a}_1, \hat{a}_2, \hat{a}_3, \hat{a}_4, \hat{a}_5, \hat{a}_6, \hat{a}_7, \hat{a}_8\}$,
Card= 8
- $\hat{\Xi}_2^{(3)} = \{(\hat{x}_1, \hat{x}_2, \hat{x}_3); \hat{x}_i \in \{0, \frac{1}{2}, 1\}\}$, Card $\hat{\Xi}_2^{(3)} = 27$



Éléments finis parallélotopes

- Théorème : Pour tout entier $k \geq 0$, l'ensemble $\hat{\Xi}_k$ est \mathbb{Q}_k -unisolvant.
- Définition : On appelle n -hypercube unité de type (k) , l'élément fini $(K, \mathbb{Q}_k, \hat{\Xi}_k)$. On appelle n -parallélotope de type (k) tout élément fini (K, P, Σ) affine-équivalent au n -hypercube unité de type (k) .
- le n -hypercube unité de type (k) est un carré unité de type (k) lorsque $n = 2$,
- et cube unité de type (k) lorsque $n = 3$

Éléments finis parallélotopes

Dire que (K, P, Σ) est un n -parallélotope de type (k) signifie donc qu'il existe une application affine inversible F de \mathbb{R}^n sur \mathbb{R}^n telle que

$$K = F(\hat{K}), \quad \mathbb{P} = \{p : \mathbb{R}^n \rightarrow \mathbb{R}^n; p \circ F \in \mathbb{Q}_k\}, \quad \Sigma = F(\hat{\Xi}_k). \quad (25)$$

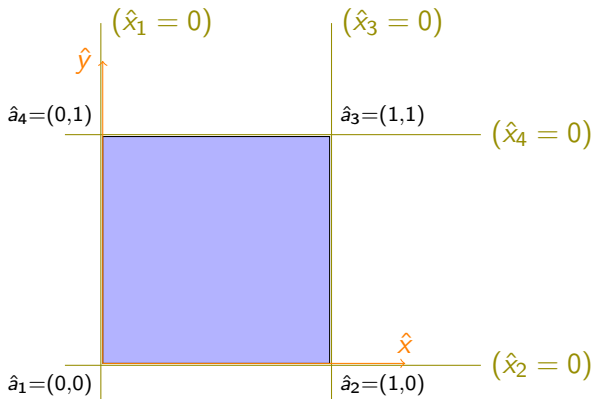
Supposons $n = 2$ pour simplifier un peu l'exposé :

- ① K est un parallélogramme de \mathbb{R}^n ;
- ② pour $k = 0$, Σ est le centre du parallélogramme K ; pour $k = 1$, Σ est l'ensemble des sommets ; pour $k = 2$, Σ est l'ensemble constitué des sommets de K , des milieux des côtés de K et du centre de K , etc.
- ③ l'espace \mathbb{P} est un espace de polynômes tel que

$$\mathbb{P}_k \subset \mathbb{P} \subset \mathbb{P}_{2k}$$

cet espace \mathbb{P} ne coïncide avec l'espace \mathbb{Q}_k que dans le cas particulier où K est un rectangle de côtés parallèles aux axes.

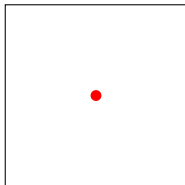
Éléments finis parallélotopes ($n = 2$)



Il sera commode de poser $\hat{x}_3 = 1 - \hat{x}_1$, $\hat{x}_4 = 1 - \hat{x}_2$ et d'associer à tout entier i l'entier \bar{i} congru à i modulo 4 et compris entre 1 et 4. En particulier, un sommet \hat{a}_i , $1 \leq i \leq 4$, est alors défini par les relations

$$\hat{a}_i : \hat{x}_{\bar{i}} = \hat{x}_{\bar{i}+1} = 0$$

Éléments finis carré de type ($k = 0$)



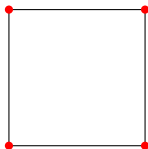
- Pour $k = 0$, le carré unité de type (0) est obtenu pour

$$\hat{\mathbb{P}} = \mathbb{Q}_0, \quad P_0 = \mathbb{R}, \quad \hat{\Sigma} = \hat{\Xi}_0 = \{\hat{a}_0\}$$

où \hat{a}_0 est le centre du carré, $\hat{a}_0 = \frac{1}{4}(\hat{a}_1 + \hat{a}_2 + \hat{a}_3 + \hat{a}_4)$. La fonction de base $\hat{\varphi}_0$, est la fonction constante égale à 1.

$$\varphi_0(\hat{x}) = 1$$

Éléments finis carré de type ($k = 1$)



- Pour $k = 1$, le carré de type (1) correspond à

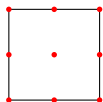
$$\hat{\mathbb{P}} = \mathbb{Q}_1, \quad \hat{\Sigma} = \hat{\Xi}_1^{(2)} = \{\hat{a}_1, \hat{a}_2, \hat{a}_3, \hat{a}_4\}$$

Les fonctions de base s'écrivent

$$\hat{\varphi}_i(\hat{x}) = \hat{x}_{i+2}\hat{x}_{i+3}, \quad 1 \leq i \leq 4$$

$$\left\{ \begin{array}{l} \hat{\varphi}_1(\hat{x}) = \hat{x}_3\hat{x}_4 = \hat{x}_3\hat{x}_4 = (1 - \hat{x}_1)(1 - \hat{x}_2) \\ \hat{\varphi}_2(\hat{x}) = \hat{x}_4\hat{x}_5 = \hat{x}_4\hat{x}_1 = \hat{x}_1(1 - \hat{x}_2) \\ \hat{\varphi}_3(\hat{x}) = \hat{x}_5\hat{x}_6 = \hat{x}_1\hat{x}_2 \\ \hat{\varphi}_4(\hat{x}) = \hat{x}_6\hat{x}_5 = \hat{x}_2\hat{x}_3 = \hat{x}_2(1 - \hat{x}_1) \end{array} \right.$$

Éléments finis carré de type ($k = 2$)



$\hat{\mathbb{P}} = \mathbb{Q}_2$, $\hat{\Sigma} = \hat{\Xi}_2^{(2)} = \{\hat{a}_i\}_{0 \leq i \leq 8}$ où \hat{a}_0 est le centre de l'élément carré et si $i \geq 5$, \hat{a}_i milieu de $[\hat{a}_i \hat{a}_{i+1}]$.

$$\hat{\varphi}_0(\hat{x}) = 16\hat{x}_1\hat{x}_2\hat{x}_3\hat{x}_4.$$

$$\hat{\varphi}_i(\hat{x}) = \hat{x}_{i+2}(2\hat{x}_{i+2} - 1)\hat{x}_{i+3}(2\hat{x}_{i+3} - 1), \quad 1 \leq i \leq 4,$$

$$\hat{\varphi}_i(\hat{x}) = -4\hat{x}_{i+2}(\hat{x}_{i+2} - 1)\hat{x}_{i+3}(2\hat{x}_{i+3} - 1), \quad 5 \leq i \leq 8$$

$$\left\{ \begin{array}{l} \hat{\varphi}_0(\hat{x}) = 16\hat{x}_1\hat{x}_2(1 - \hat{x}_1)(1 - \hat{x}_2) \\ \hat{\varphi}_1(\hat{x}) = (\hat{x}_1 - 1)(\hat{x}_2 - 1)(2\hat{x}_1 - 1)(2\hat{x}_2 - 1) \\ \hat{\varphi}_2(\hat{x}) = \hat{x}_1(2\hat{x}_1 - 1)(\hat{x}_2 - 1)(2\hat{x}_2 - 1) \\ \hat{\varphi}_3(\hat{x}) = \hat{x}_1\hat{x}_2(2\hat{x}_1 - 1)(2\hat{x}_2 - 1) \\ \hat{\varphi}_4(\hat{x}) = (\hat{x}_1 - 1)\hat{x}_2(2\hat{x}_1 - 1)(2\hat{x}_2 - 1) \\ \hat{\varphi}_5(\hat{x}) = -4\hat{x}_1(\hat{x}_1 - 1)(\hat{x}_2 - 1)(2\hat{x}_2 - 1) \\ \hat{\varphi}_6(\hat{x}) = -4\hat{x}_1\hat{x}_2(2\hat{x}_1 - 1)(\hat{x}_2 - 1) \\ \hat{\varphi}_7(\hat{x}) = -4\hat{x}_1(\hat{x}_1 - 1)(\hat{x}_2 - 1)(2\hat{x}_2 - 1) \\ \hat{\varphi}_8(\hat{x}) = -4(\hat{x}_1 - 1)(2\hat{x}_1 - 1)\hat{x}_2(\hat{x}_2 - 1) \end{array} \right.$$

Éléments finis parallélotopes

A partir des deux derniers exemples de carré unité, on peut construire des éléments finis qui seront de mise en œuvre informatique plus simple sans que cela nuise à la précision. On pose

$$\begin{cases} \hat{\Xi}_2^* = \hat{\Xi}_2 \cap \partial\hat{K} = \{\hat{a}_i\}_{1 \leq i \leq 8} \\ \hat{\mathbb{Q}}_2^* = \{q(x) + \alpha_1 x_1^2 x_2 + \alpha_2 x_1 x_2^2, \quad q \in \mathbb{P}_2, \quad (\alpha_1, \alpha_2) \in \mathbb{R}^2\} \end{cases} \quad (26)$$

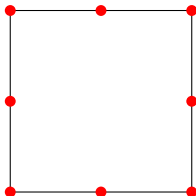
On remarque que l'espace $\mathbb{Q}_2 = \mathbb{Q}_2^* \oplus \text{vect}\{x_1^2 x_2^2\}$

- L'ensemble $\hat{\Xi}_2^*$ est \mathbb{Q}_2^* -unisolvant.
- on vérifie que les fonctions

$$\begin{aligned} \hat{\varphi}_i(\hat{x}) &= \hat{x}_{i+2} \hat{x}_{i+3} (2\hat{x}_{i+2} + 2\hat{x}_{i+3} - 3), \quad 1 \leq i \leq 4, \\ \hat{\varphi}_i(\hat{x}) &= -4\hat{x}_{i+2} (\hat{x}_{i+2} - 1) \hat{x}_{i+3}, \quad 5 \leq i \leq 8. \end{aligned} \quad (27)$$

sont les fonctions de base de $(\hat{K}, \mathbb{Q}_2^*, \hat{\Sigma}_2^*)$.

Éléments finis parallélotopes

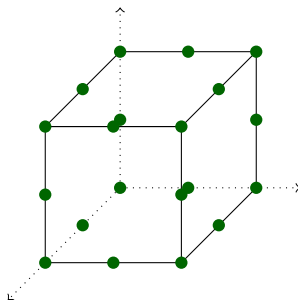
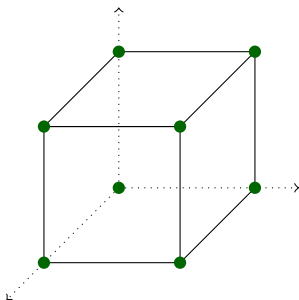


$$\begin{cases} \hat{\Xi}_2^* = \hat{\Xi}_2 \cap \partial \hat{K} = \{\hat{a}_i\}_{1 \leq i \leq 8} \\ \hat{\mathbb{Q}}_2^* = \mathbb{Q}_2^{(2)} = \text{vect}\{1, x, x^2, y, y^2, xy, xy^2, x^2y\} \end{cases} \quad (28)$$

$$\begin{cases} \varphi_1 = -(x-1)(y-1)(2x+2y-1) & , \quad \varphi_5 = 4x(x-1)(y-1) \\ \varphi_2 = x(y-1)(2x-2y-1) & , \quad \varphi_6 = -4xy(y-1) \\ \varphi_3 = xy(2x+2y-3) & , \quad \varphi_7 = -4xy(x-1) \\ \varphi_4 = (x-1)y(2x-2y-1) & , \quad \varphi_8 = 4(x-1)y(y-1) \end{cases}$$

Éléments finis parallélotopes

En dimension $n = 3$, on vous laisse le soin de décrire en détail l'élément fini $(\hat{K}, \hat{\mathbb{P}}, \hat{\Sigma})$ cube unité de type (k) , pour les valeurs $k = 0, 1, 2$. Par exemple, pour $k = 1$, l'ensemble $\hat{\Sigma}$ est constitué par les 8 sommets du cube. Pour $k = 2$, on préfère utiliser le cube unité de type $(2)^*$ où l'ensemble Σ est constitué par les 8 sommets du cube et les milieux des 12 arêtes de ce cube.



Éléments finis d'Hermite

φ_i des éléments finis de Lagrange est construite pour être continue d'un élément à l'autre, mais pas sa dérivée...

Un élément fini d'Hermite est un triplet (K, Σ, P) tel que :

- K est un élément géométrique de \mathbb{R}^n , compact, connexe, et d'intérieur non vide ;
- $\Sigma = \{\sigma_1, \dots, \sigma_N\}$ un ensemble de N formes linéaires sur l'espace des fonctions définies sur K , ou sur un sous-espace plus régulier contenant P ;
- P est un espace vectoriel de dimension finie de fonctions réelles définies sur K , et tel que Σ soit P -unisolvant.

Opérateur de P –interpolation

- Un opérateur de P –interpolation sur Σ est un opérateur Π qui à toute fonction v définie sur K associe la fonction Πv de P définie par :

$$\Pi v = \sum_{i=1}^N \sigma_i(v) \varphi_i$$

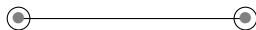
- Πv est l'unique élément de P qui prend les mêmes valeurs que v sur les points de Σ .

-

$$\sigma_j(\varphi_i) = \delta_{ij}, \quad 1 \leq i, j \leq N$$

- Suivant les éléments utilisés, ces fonctions de base pourront être de classe C^1 ou même plus, et il en sera donc de même pour la solution approchée u_h .

Élément d'Hermite cubique de classe \mathcal{C}^1 et H^2



- $K = [0, h]$, $\Sigma = \{p(a), p'(a), p(b), p'(b)\}$, $\mathbb{P} = \mathbb{P}_3^{(1)} = \mathbb{R}_3[X]$
- Interpolation

$$\Pi v(x) = \sum_{i=1}^n v_i \Phi_i(x) + \sum_{i=1}^n \left(\frac{dv}{dx}\right)_i \Psi_i(x)$$

- $\Phi_i(x)$ les fonctions de base associées aux valeurs nodales v_i .
- $\Psi_i(x)$ les fonctions de base associées aux dérivées nodales $(\frac{dv}{dx})_i$,

Sur un élément $[x_1, x_2]$, cette approximation s'écrit :

$$v^h(x) = v_1 \Phi_1(x) + \left(\frac{dv}{dx}\right)_1 \Psi_1(x) + v_2 \Phi_2(x) + \left(\frac{dv}{dx}\right)_2 \Psi_2(x)$$

Φ_i et Ψ_i vérifient les conditions :

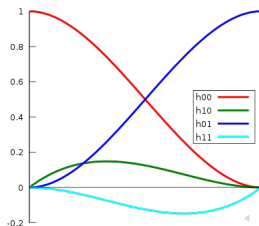
$$\begin{cases} \Phi_i(x_j) = \delta_{ij} & \Phi'_i(x_j) = 0 \\ \Psi_i(x_j) = 0 & \Psi'_i(x_j) = \delta_{ij} \end{cases}$$

Élément d'Hermite cubique de classe \mathcal{C}^1 et H^2

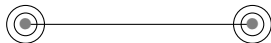
$$\begin{cases} \Phi_i(x) = [1 - 2(x - x_i)\lambda'_i(x_i)] \lambda_i^2(x) \\ \Psi_i(x) = (x - x_i)\lambda_i^2(x) \end{cases}$$

- élément de référence de longueur h : $x_1 = 0$ et $x_2 = h$,
- $\lambda_1(x) = 1 - \frac{x}{h}$ et $\lambda_2(x) = \frac{x}{h}$. On pose $\xi = \frac{x}{h}$:

$$\begin{cases} \Phi_1(x) = (1 + 2\xi)(1 - \xi)^2 \\ \Phi_2(x) = (3 - 2\xi)\xi^2 \\ \Psi_1(x) = h\xi(1 - \xi)^2 \\ \Psi_2(x) = h(\xi - 1)\xi^2 \end{cases}$$



Élément d'Hermite quintique de classe \mathcal{C}^2 et H^3



- $K = [0, h]$, $\Sigma = \{p(a), p'(a), p''(a), p(b), p'(b), p''(b)\}$, $\mathbb{P} = \mathbb{R}_5[X]$

$$\Pi v(x) = \sum_{i=1}^n v_i \Phi_i(x) + \sum_{i=1}^n \left(\frac{dv_i}{dx}\right) \Psi_i(x) + \sum_{i=1}^n \left(\frac{d^2 v_i}{dx^2}\right) \chi_i(x)$$

- $\Phi_i(x)$ les fonctions de base associées aux valeurs nodales v_i .
- $\Psi_i(x)$ les fonctions de base associées aux dérivées nodales $\frac{dv_i}{dx}$,
- $\chi_i(x)$ Fonctions de base associées aux dérivées secondes nodales $\frac{d^2 v_i}{dx^2}$

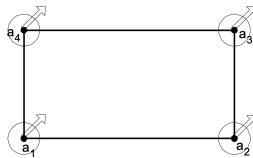
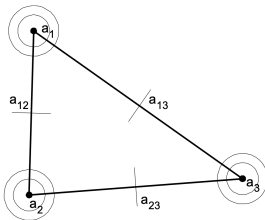
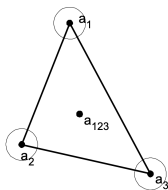
Sur un élément $[x_1, x_2]$, cette approximation s'écrit :

$$v^h(x) = v_1 \Phi_1 + \frac{dv_1}{dx} \Psi_1 + \frac{d^2 v_1}{dx^2} \chi_1 + v_2 \Phi_2 + \frac{dv_2}{dx} \Psi_2 + \frac{d^2 v_2}{dx^2} \chi_2$$

Φ_i , Ψ_i et χ_i vérifient les conditions :

$$\begin{cases} \Phi_i(x_j) = \delta_{ij} & \Phi'_i(x_j) = 0 & \Phi''_i(x_j) = 0 \\ \Psi_i(x_j) = 0 & \Psi'_i(x_j) = \delta_{ij} & \Psi''_i(x_j) = 0 \\ \chi_i(x_j) = 0 & \chi'_i(x_j) = 0 & \chi''_i(x_j) = \delta_{ij} \end{cases}$$

Éléments bidimensionnels



Élément	
K	triangle de sommets $\{a_1, a_2, a_3\}$
Σ	$\left\{ p(a_i), \frac{\partial p}{\partial x}(a_i), \frac{\partial p}{\partial y}(a_i), \frac{\partial^2 p}{\partial x^2}(a_i), \frac{\partial^2 p}{\partial y^2}(a_i), \frac{\partial^2 p}{\partial x \partial y}(a_i), i = 1, 2, 3 \right\} \cup \left\{ \frac{\partial p}{\partial n}(a_{ij}), 1 \leq i < j \leq 3 \right\}$
P	P_5
Régularité	C^1

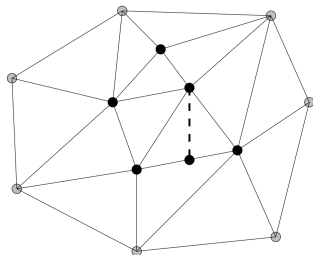
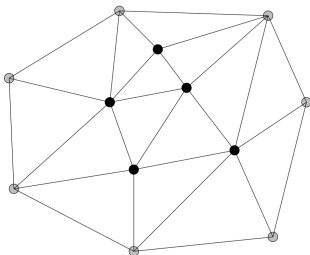
Élément	Q_3
K	rectangle de sommets $\{a_1, a_2, a_3, a_4\}$ de côtés parallèles aux axes
Σ	$\left\{ p(a_i), \frac{\partial p}{\partial x}(a_i), \frac{\partial p}{\partial y}(a_i), \frac{\partial^2 p}{\partial x \partial y}(a_i), i = 1, \dots, 4 \right\}$
P	P_3
Régularité	C^1

Maillage

- Un maillage (ou triangulation) de Ω est la donnée de N_{el} triangles $\{K_1, \dots, K_{N_{el}}\}$ (fermés par convention) formant une partition de Ω .

$$\bar{\Omega} = \bigcup_{i=1}^{N_{el}} K_i, \quad \overset{\circ}{K}_i \cap \overset{\circ}{K}_j = \emptyset, \quad \forall i \neq j$$

- Le maillage est admissible si pour tout $K_i \neq K_j$, l'ensemble $K_i \cap K_j$ est
 - 1 soit vide
 - 2 soit un sommet commun K_i et K_j
 - 3 soit une arête commune K_i et K_j



Relations d'Euler

- On note
 - N_{el} le nombre d'éléments
 - N_{ar} le nombre d'arêtes
 - N_{so}^{int} le nombre de sommets intérieurs
 - N_{so}^{ext} le nombre de sommets extérieurs
 - $N_{so} = N_{so}^{int} + N_{so}^{ext}$ le nombre total de sommets
- Pour tout maillage admissible, on a (relations d'Euler)

$$N_{el} = N_{so} + N_{so}^{int} - 2(1 - J) \quad N_{ar} = 2N_{so} + N_{so}^{int} - 3$$

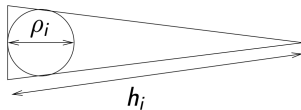
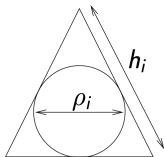
(J : nombre de trous dans Ω)

- Dans la limite pratique $N_{so}^{ext} \ll N_{so}$ et $N_{so}^{int} \sim N_{so}$, il vient

$$N_{el} \sim 2N_{so}^{int} \quad N_{ar} \sim 3N_{so}^{int}$$

Échelles de longueur (1)

- On introduit pour chaque maille K_i deux échelles de longueur
 - son diamètre h_i
 - le diamètre de son cercle inscrit ρ_i
- On a $h_i/\rho_i \geq 1$ et $h_i/\rho_i \gg 1$ lorsque le triangle K_i est très aplati



- On a $h_i/\rho_i \leq \frac{2}{\sin \theta_i}$ θ_i est le plus petit angle du triangle K_i

Échelles de longueur (2)

- Pour un maillage $\{K_1, \dots, K_{N_{el}}\}$, on introduit les paramètres globaux

$$h = \max_{1 \leq i \leq N_{el}} h_i \quad \sigma = \max_{1 \leq i \leq N_{el}} \frac{h_i}{\rho_i}$$

- Pour un maillage quasi-uniforme, $\sigma \gtrsim 1$ et $h_i \sim h$
- Pour un maillage quasi-uniforme, on a $h \sim (N_{el})^{-1/2}$
 - ❶ en 1D, $h \sim (N_{el})^{-1}$
 - ❷ en dimension d , $h \sim (N_{el})^{-1/d}$
 - ❸ à h fixé, plus d est grand, plus il faut de mailles !
- Exemple de maillage avec raffinement local

